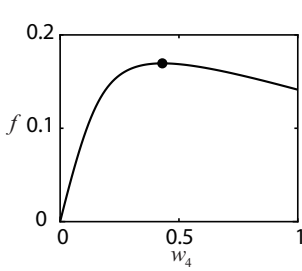
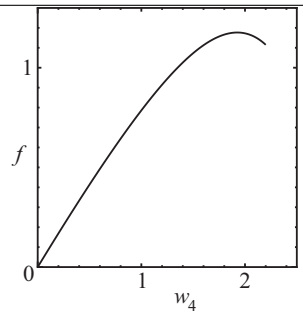
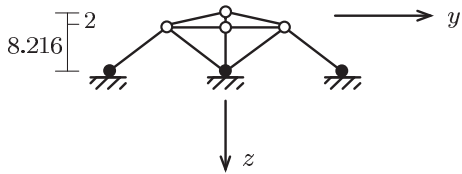
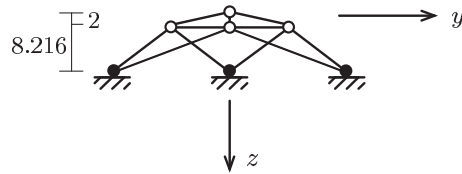
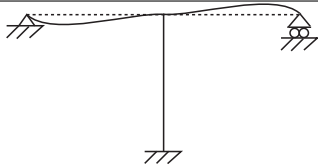
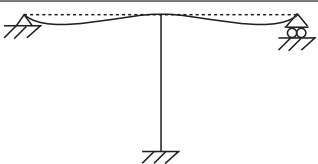


池田・室田：「構造系の座屈と分岐」第1刷（コロナ社，2001年）正誤表
 （2021年5月24日現在）

場所	誤	正
16頁3行目	4本の解曲線	5本の解曲線
16頁4行目（挿入）		$x = y = 0$, 解曲線0 (f 軸)
16頁2.4節2行目	最小値	極小値
25頁下5行目	ポテンシャル系である。	ポテンシャル系であり，ここでは，安定性の議論のために， F は，全ポテンシャルエネルギー U の偏導関数 $\partial U / \partial u$ に等しいと仮定する。
48頁式(5.1)下2行目	またこの式の右辺は $w' \approx 0$ ，すなわち変形が小さい場合に成り立つ近似式である。	またこの式の右辺は $w' \approx 0$ ，すなわち鉛直方向の変形が小さい場合に成り立つ近似式である。
65頁(5.42)式下	式(5.41)と(5.42)を式(5.40)	式(5.40), (5.41), (5.42)を式(5.39)に
70頁第8行目	その他の断面剛性	ばね定数 k は十分大きく その他の断面剛性
72頁問5.10の1行目	完全弾性体	弾性体
76頁式(6.3)	$\begin{pmatrix} c_1 \\ c_2 \\ c_3 \\ c_4 \end{pmatrix}$	$\begin{pmatrix} c_0 \\ c_1 \\ c_2 \\ c_3 \end{pmatrix}$
85頁6.2.2節第1行目	図6.6の左側	図6.6の上側
88頁問6.2	また，図(b)のフレームの部材長 ...	また，全ての部材は同一である。
91頁式(7.1)下	ここに， $L^{(m)}$ と $\widehat{L}^{(m)}(\mathbf{u}^{(m)})$ は初期と変形後の部材長であり，	ここに， $EA^{(m)}$ は断面剛性， $L^{(m)}$ と $\widehat{L}^{(m)}(\mathbf{u}^{(m)})$ は初期と変形後の部材長であり，

場所	誤	正
99 頁下から 1 番目の式	$\tilde{\mathbf{p}}^{(m)} = \begin{matrix} i \\ j \end{matrix} \begin{pmatrix} \mathbf{0} \\ \mathbf{p}_j^{(m)} \\ \mathbf{0} \\ \mathbf{p}_j^{(m)} \\ \mathbf{0} \end{pmatrix}$	$\tilde{\mathbf{p}}^{(m)} = \begin{matrix} i \\ j \end{matrix} \begin{pmatrix} \mathbf{0} \\ \mathbf{p}_i^{(m)} \\ \mathbf{0} \\ \mathbf{p}_j^{(m)} \\ \mathbf{0} \end{pmatrix}$
100 頁式 (7.30) 上 2 行目	$2EA$	EA
101 頁式 (7.32) 下 4 行目	$2EA$	EA
101 頁図 7.3 の右側		
104 頁式 (8.1)	$\frac{\partial^4 w}{\partial x^4} + 2 \frac{\partial^2 w}{\partial x^2} \frac{\partial^2 w}{\partial y^2} + \frac{\partial^4 w}{\partial y^4}$	$\frac{\partial^4 w}{\partial x^4} + 2 \frac{\partial^4 w}{\partial x^2 \partial y^2} + \frac{\partial^4 w}{\partial y^4}$
105 頁式 (8.5)	同上	同上
106 頁式 (8.10)	同上	同上
107 頁式 (8.14)	同上	同上
107 頁式 (8.15)	$\frac{\partial^4 F}{\partial x^4} + 2 \frac{\partial^2 F}{\partial x^2} \frac{\partial^2 F}{\partial y^2} + \frac{\partial^4 F}{\partial y^4}$	$\frac{\partial^4 F}{\partial x^4} + 2 \frac{\partial^4 F}{\partial x^2 \partial y^2} + \frac{\partial^4 F}{\partial y^4}$
111 頁式 (9.4)	$\mathbf{u}_c \approx \frac{\lambda_{iB} \mathbf{u}_A - \lambda_{iA} \mathbf{u}_B}{\lambda_{iA} - \lambda_{iB}}, \quad f_c \approx \frac{\lambda_{iB} f_A - \lambda_{iA} f_B}{\lambda_{iA} - \lambda_{iB}}$	$\mathbf{u}_c \approx \frac{\lambda_{iA} \mathbf{u}_B - \lambda_{iB} \mathbf{u}_A}{\lambda_{iA} - \lambda_{iB}}, \quad f_c \approx \frac{\lambda_{iA} f_B - \lambda_{iB} f_A}{\lambda_{iA} - \lambda_{iB}}$
119 頁第 2 行目	$\partial \mathbf{F} / \partial f = EA(0, 1)^T$	$\partial \mathbf{F} / \partial f = EA(0, -1)^T$
140 頁式 (11.23) 下第 6 行目	荷重の極大・極小点と	荷重の停留点と
141 頁図 11.2 右下	$A_{20} = 0, A_{30} \neq 0$ 対称	$A_{20} = 0, A_{30} \neq 0$ $A_{11} \neq 0$ 対称
144 頁下 2 行目	$A_{30} \neq 0)$	$A_{30} \neq 0, A_{11} \neq 0)$
156 頁下から第 6 行目	図中, 実線により示す	図中, 太線により示す
157 頁第 3 行目	右側に破線で示す。	右側に細線で示す。

場所	誤	正
170 頁図 13.3 右側	<p style="text-align: center;">○:自由節点 ●:固定節点</p> 	<p style="text-align: center;">○:自由節点 ●:固定節点</p> 
176 頁第 2 行目	$U(x, y)$	$U(x, y, z)$
181 頁問 4.1	$-(2 - \cos u_1 - \cos u_2)f$ $-f \cdot \sin u_1$ $-f \cdot \sin u_2$	$-fk(2 - \cos u_1 - \cos u_2)$ $-fk \cdot \sin u_1$ $-fk \cdot \sin u_2$
181 頁問 4.1(2) 第 2 行目	$J(0, 0, f) = (kL^2)^2 \dots$	$\det J(0, 0, f) = (kL^2)^2 \dots$
186 頁問 6.1	<p>式 (6.13) の剛性行列により与えられる.</p> $\det \left[\frac{4EI}{L^2} \begin{pmatrix} 3L & -3 & L \\ -3 & \frac{6}{L} & -3 \\ L & -3 & 2L \end{pmatrix} \right]$ $= \left(\frac{4EI}{L^2} \right)^3 L \times \det \begin{bmatrix} \begin{pmatrix} 3 & -3 & 1 \\ -3 & 6 & -3 \\ 1 & -3 & 2 \end{pmatrix} \end{bmatrix}$ $\alpha = P_c L^2 / (120EI)$ $\alpha = 0.0185, 0.214, 0.764$ $P_c = 2.22 \frac{EI}{L^2}, 25.7 \frac{EI}{L^2}, 91.7 \frac{EI}{L^2}$	<p>図 6.2(b) で $\alpha = 1$ とし, 式 (6.13) の剛性行列を書き換えることにより与えられる.</p> $\det \left[\frac{2EI}{L^2} \begin{pmatrix} 4L & -3 & L \\ -3 & \frac{6}{L} & -3 \\ L & -3 & 2L \end{pmatrix} \right]$ $= \left(\frac{2EI}{L^2} \right)^3 L \times \det \begin{bmatrix} \begin{pmatrix} 4 & -3 & 1 \\ -3 & 6 & -3 \\ 1 & -3 & 2 \end{pmatrix} \end{bmatrix}$ $\alpha = P_c L^2 / (60EI)$ $\alpha = 0.026, 0.28, 0.83$ $P_c = 1.57 \frac{EI}{L^2}, 16.8 \frac{EI}{L^2}, 49.6 \frac{EI}{L^2}$

場所	誤	正
187 頁問 6.4	$\begin{pmatrix} 4 & -1 & 0 \\ -1 & 12 & -1 \\ 0 & -1 & 4 \end{pmatrix}$ $P_{1c} = 14.7 \frac{EI}{L^2}, \quad P_{3c} = 53.1 \frac{EI}{L^2}$ $\boldsymbol{\eta}_{1c} = \begin{pmatrix} 1.22 \\ -1.00 \\ 1.22 \end{pmatrix}, \quad \boldsymbol{\eta}_{3c} = \begin{pmatrix} 1.22 \\ 1.00 \\ 1.22 \end{pmatrix}$	$\begin{pmatrix} 4 & -1 & 0 \\ -1 & 8 & -1 \\ 0 & -1 & 4 \end{pmatrix}$ $P_{1c} = 16.8 \frac{EI}{L^2}, \quad P_{3c} = 71.1 \frac{EI}{L^2}$ $\boldsymbol{\eta}_{1c} = \begin{pmatrix} 1.46 \\ -1.00 \\ 1.46 \end{pmatrix}, \quad \boldsymbol{\eta}_{3c} = \begin{pmatrix} 0.80 \\ 1.00 \\ 0.80 \end{pmatrix}$
187 頁 図 A.5 左		
188 頁問 6.5	$\left(-\frac{P}{4}, \frac{3P}{4}, -\frac{PL}{8}\right)^T$	$\left(-\frac{P}{4}, \frac{\sqrt{3}P}{4}, -\frac{PL}{8}\right)^T$
190 頁第 2 行目	$(P/\sqrt{2}, P/\sqrt{2})$	$(P/\sqrt{2}, -P/\sqrt{2})$
190 頁 問 7.2 第 5 行目	$\begin{pmatrix} 0 \\ 4f/(3EA) \end{pmatrix}$	$\begin{pmatrix} 0 \\ 4f/3 \end{pmatrix}$
190 頁 問 7.2 第 7 行目	$\boldsymbol{f}_1 =$ $\boldsymbol{f}_2 =$	$\boldsymbol{f}_1 = EA$ $\boldsymbol{f}_2 = EA$
192 頁問 8.2 の 4 行目	$m\sqrt{2}$	$\sqrt{2}/m$
194 頁 図 A.7(a) の横軸	節点 1 の	頂点の
194 頁 図 A.7(a) の縦軸	f/EA	f
195 頁問 11.3	$\hat{F} \sim 4\tilde{x}\tilde{f} - 4\tilde{x}^3$	$\hat{F} \sim \frac{4EA}{3}(\tilde{x}\tilde{f} - \tilde{x}^3)$